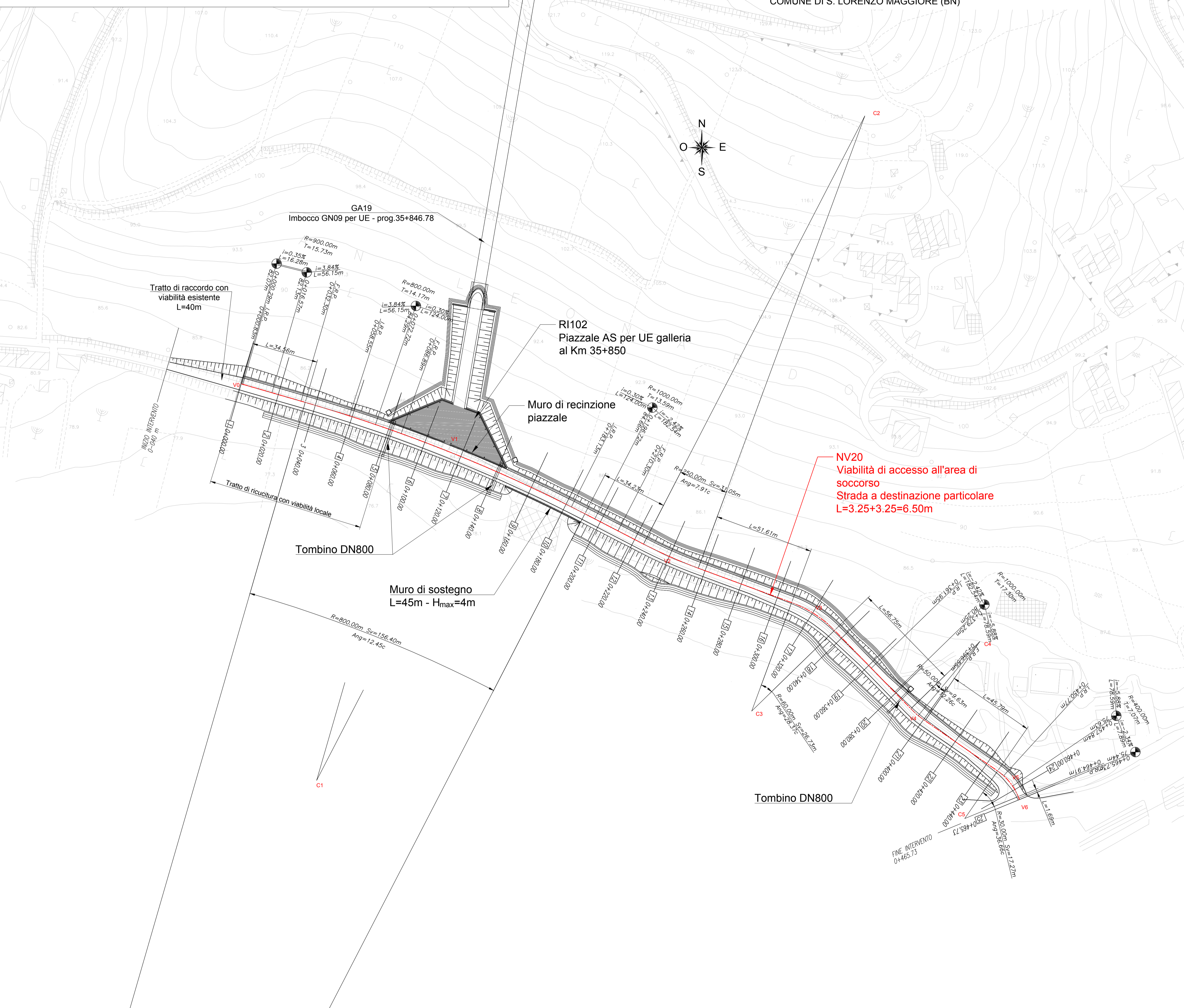


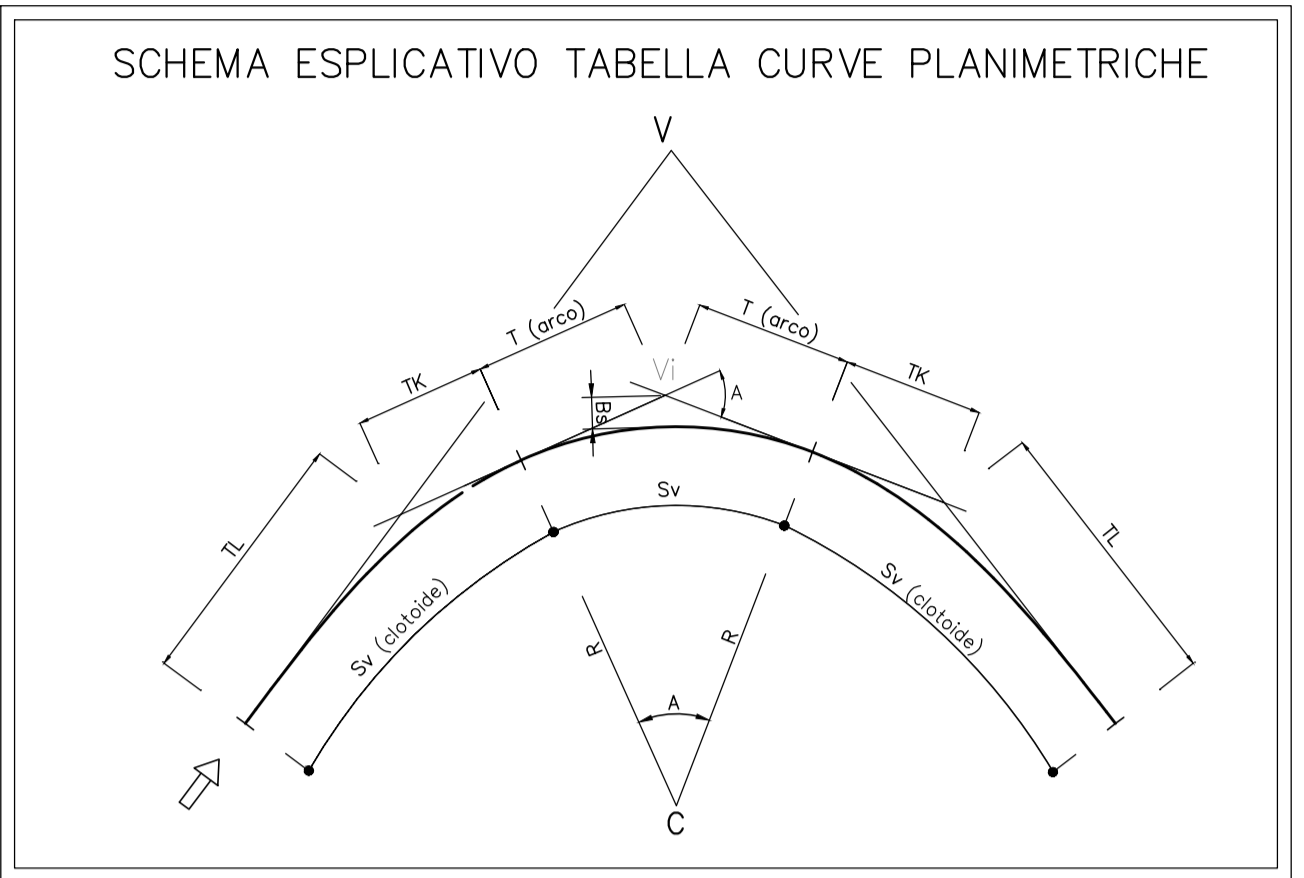
|       |                                      |       |                                      |       |                                      |       |                                      |       |                                      |  |
|-------|--------------------------------------|-------|--------------------------------------|-------|--------------------------------------|-------|--------------------------------------|-------|--------------------------------------|--|
| C1    | E(m) 248862.757<br>N(m) 4562549.623  | C3    | E(m) 2489116.539<br>N(m) 4563157.974 | C2    | E(m) 2489175.214<br>N(m) 4563466.716 | C4    | E(m) 2489234.930<br>N(m) 4563194.093 | C5    | E(m) 2489227.025<br>N(m) 4563102.253 |  |
| V1    | E(m) 2488960.341<br>N(m) 4563296.348 | V3    | E(m) 2489150.026<br>N(m) 4563209.582 | V2    | E(m) 2489074.249<br>N(m) 4563237.483 | V4    | E(m) 2489202.490<br>N(m) 4563155.740 | V5    | E(m) 2489251.409<br>N(m) 4563121.857 |  |
| R(m)  | 800.00                               | R(m)  | 60.00                                | R(m)  | 250.00                               | R(m)  | 50.00                                | R(m)  | 30.00                                |  |
| A(°)  | 12.454                               | A(°)  | 28.374                               | A(°)  | 7.914                                | A(°)  | 12.284                               | A(°)  | 36.664                               |  |
| T(m)  | 78.45                                | T(m)  | 13.59                                | T(m)  | 15.54                                | T(m)  | 4.83                                 | T(m)  | 8.88                                 |  |
| Sv(m) | 156.40                               | Sv(m) | 26.73                                | Sv(m) | 31.05                                | Sv(m) | 9.63                                 | Sv(m) | 17.23                                |  |
| Bs(m) | 3.84                                 | Bs(m) | 1.52                                 | Bs(m) | 0.48                                 | Bs(m) | 0.23                                 | Bs(m) | 1.28                                 |  |



NUOVA VIABILITÀ DI ACCESSO ALL'AREA DI SOCCORSO AL KM 35+850  
COMUNE DI S. LORENZO MAGGIORE (BN)

LEGENDA

- ASSE DI TRACCIAMENTO
- DEMOLIZIONI



| TABELLA CURVE                   | TABELLA CLOTOIDI              |
|---------------------------------|-------------------------------|
| C = CENTRO CURVA                | A = PARAMETRO DELLA CLOTOIDE  |
| V = VERTICE ESTERNO             | Sv = LUNGHEZZA DELLA CLOTOIDE |
| R = RAGGIO DI CURVATURA         | r = SCOSTAMENTO DELLA CURVA   |
| A = ANGOLO CURVA                | TL = TANGENTE LUNGA           |
| T = TANGENTE                    | TK = TANGENTE CORTA           |
| Sv = SVILUPPO SETTORE CIRCOLARE |                               |
| Bs = FRECCIA                    |                               |

LEGENDA DATI ALTIMETRICI

|       |                              |
|-------|------------------------------|
| R     | = RAGGIO RACCORDO PARABOLICO |
| i     | = PENDENZA LIVELLETTA        |
| L     | = LUNGHEZZA LIVELLETTA       |
| T     | = TANGENTE                   |
| I.R.P | = INIZIO RACCORDO PARABOLICO |
| F.R.P | = FINE RACCORDO PARABOLICO   |

COMMITTENTE:

PROGETTAZIONE:

DIREZIONE TECNICA  
UO INFRASTRUTTURE CENTRO

PROGETTO DEFINITIVO

ITINERARIO NAPOLI - BARI  
RADDOPPIO TRATTA CANCELLO - BENEVENTO  
II LOTTO FUNZIONALE FRASSO TELESINO - VITULANO  
2° LOTTO FUNZIONALE TELESE - SAN LORENZO

NV20 - Nuova viabilità di accesso all'area di soccorso al km 35+850  
Planimetria di progetto con dati di tracciamento

SCALA:  
1:1000

COMMESSA LOTTO FASE ENTE TIPO DOC. OPERA/DISCIPLINA PROGR. REV.

IFOH 22 D 11 P7 NV2000 001 A

| Revis. | Descrizione         | Redatto    | Data        | Verificato | Data        | Approvato  | Data        | Autorizzato | Data |
|--------|---------------------|------------|-------------|------------|-------------|------------|-------------|-------------|------|
| A      | Emissione esecutiva | L. Mazzoni | Giugno 2017 | F. Centone | Giugno 2017 | F. Centone | Giugno 2017 |             |      |